文章编号: 1001-2060(2010)02-0216-05

# 初始氧浓度对锅炉富氧燃烧和 NOXII 放的影响

阎维平, 米翠丽, 李皓宇

(华北电力大学 电站设备状态监测与控制教育部重点实验室, 河北保定 071003)

摘 要: 针对某电站 300 MW 燃煤锅炉, 基于专门开发的 CFX-TASCFLOW 软件平台,将额定负荷下空气气氛、不同 初始氧浓度  $\phi$  (Q = 21%、30%、35%、40%)的 Q / Q = 1氛。 共五种工况下的炉内 流动、燃烧及污染物生成进行了数 值模拟。计算结果表明: 0,/00,燃烧方式下,炉膛出口烟气 中 ○○、的浓度均可达到 90%以上,便于 ○○、的回收;随着初 始氧浓度的增大,炉内的火焰温度提高,沿炉膛高度方向温 度的降低幅度增高, 炉膛出口烟气温度降低, NOX的生成量 小于空气气氛;飞灰可燃物在初始氧浓度为 21% 时最高,在 初始氧浓度增至 30%~40%时,飞灰可燃物大幅度下降; 30%的初始氧浓度是比较合理的富氧燃烧浓度。

键 词: 电站锅炉; 火焰温度; 氧浓度; O<sub>2</sub>/O<sub>2</sub> 气氛; NO X数值模拟

中图分类号: TK224 1; X701 7 文献标识码: A

#### 引 言

目前,对 NOx排放的研究主要集中在针对 NOx释放的控制技术方面,如再燃技术、SCR和 SNCR技 术等。 ② / 〇 燃烧方式 (又称为"富氧燃烧")不仅 能把 〇 浓度提升到 90%以上,还能大幅度地减少 SQ 和 NOx的排放,实现污染物的一体化协同脱 除 $[1^{-2}]$ 。国内外学者对燃煤 Q/CQ 气氛下 NOx生 成与排放规律的研究主要基于实验装置,由于实验 条件局限在煤粉堆积状态及 700~1300 ℃下[3~5], 因而锅炉的内部燃烧过程与这些实验环境有很大的 差距。据此利用数值计算方法,了解炉内过程,全面 模拟炉内的湍流流动、传热、燃烧和污染物释放规律 等是很有必要的。

TSACFIOW—CFX/COALFIRE是结合四角切圆 煤粉锅炉燃烧环境下 NOx的生成特点而开发设计 的,很详细地考虑四角切圆锅炉的结构细节<sup>[6~9]</sup>,计

算模型精细化程度较高,其预测的各主要参数的变 化趋势能够满足实际燃烧运行调整的需要。本研究 针对某电站 300 MW燃煤锅炉,基于 CFX— TASC-FLOW软件平台,将额定负荷下空气气氛、不同初始 氧浓度  $\phi$  (Q = 21%、30%、35%、40%)的 Q/CQ 气氛, 共五种工况下的炉内流动、燃烧及污染物生成 进行数值模拟,分析初始氧浓度对 NOx排放量及燃 尽效率的影响规律, 为现有燃煤电站锅炉中采用 ○/○ 燃烧方式的锅炉燃烧器设计提供参考依据。

## 研究对象

图 1为模拟某电厂 300 MW四角切圆燃烧锅炉 炉膛和燃烧器各层喷口布置情况。配 6台(1台备 用)中速磨直吹制粉系统。每角燃烧器为6层一次 风喷口,顶部独立布置燃尽风风口。燃烧器上下摆 动摆角为 ±30°,炉膛中心形成直径为 900 mm的逆 时针切圆。该锅炉所燃褐煤煤种的工业分析和元素 分析如表 1所示。

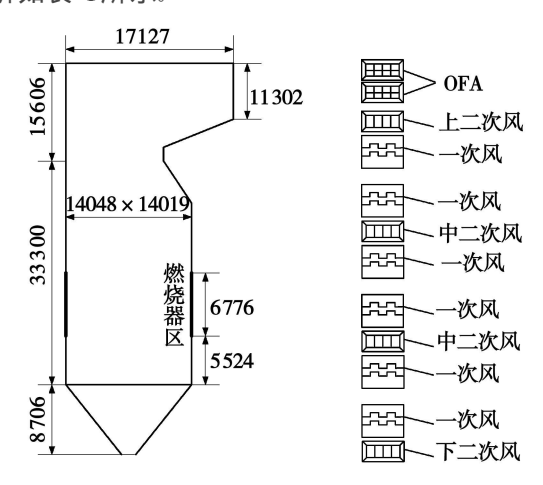


图 1 炉膛及燃烧器结构图

收稿日期: 2009-02-19 修订日期: 2009-06-03

基金项目: 国家高技术研究发展计划 (863计划)基金资助项目 (2009 AA052310).

作者简介: 阎维平 (1955—), 男, 湖南衡阳人, 华北电力大学教授、博士生导师 ?1994-2018 China Academic Journal Electronic Publishing

表 1 煤的工业分析和元素分析

工业分析 %	数值	元素分析 🆄	数值
$M_{ar}$	32. 1	$C_{ar}$	36 28
A <sub>ar</sub>	17. 89	$H_{ar}$	2 64
V <sub>ar</sub>	24. 7	Oar	10 11
FC <sub>ar</sub>	25. 31	$N_{ar}$	0 63
$Q_{\rm net\ ar}/kJ$ $kg^{-1}$	13 290	$S_{ar}$	0 35

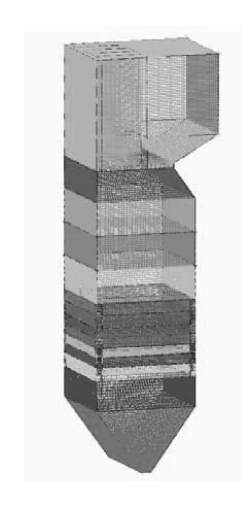


图 2 计算区域网格生成

### 2 计算模型

#### 2.1 流动与燃烧模型

计算区域为冷灰斗至炉膛出口,(如图 1 所示)。 网格划分使用 【CEM软件,最终生成 840 909 个网格,如图 2 所示。 数值模拟采用三维稳态计算,湍流气相流动采用 k— e 双方程模型,在近壁面处采用。 log— law壁面函数法处理,燃烧反应采用多步涡团耗散模型,颗粒项采用拉格朗日颗粒轨道模型,辐射传热采用扩散模型,计算区域内的速度、温度、氧浓度、NO浓度、CO浓度收敛标准为残差小于 10<sup>-4</sup>。

#### 2.2 NO生成模型

NO生成模型分为: 热力型 NQ快速型 NO和燃料型 NO生成模型, 其反应机理如图 3所示, 反应 1. 2为燃料 N的释放反应, 3.45为 NO生成反应, 6.7.8为 NO还原反应。燃料型 NO是由燃料 N生成的。在煤粉炉中, 燃料型 NO可占总 NO生成的75%~95%, 热力型和快速型 NO主要由空气中的氮气氧化而来。燃料 N在煤颗粒升温热解过程中, 一部分成为挥发份 N随挥发份释放, 直接生成 HCN (反应。1.3 可部分成为焦炭 N随煤焦燃烧释放, 直接

生成  $NH_i$  (反应 2 )。 HCN氧化生成  $NH_i$  (反应 3 )。  $NH_i$  若被氧化则生成 NO (反应 4 )。  $N_i$  可直接氧化 为热力型 NO (反应 5 )。已生成的 NO可通过反应 6.7.8分别与  $CH_i$   $NH_i$ 和煤焦反应,被还原成为  $N_i$ 。

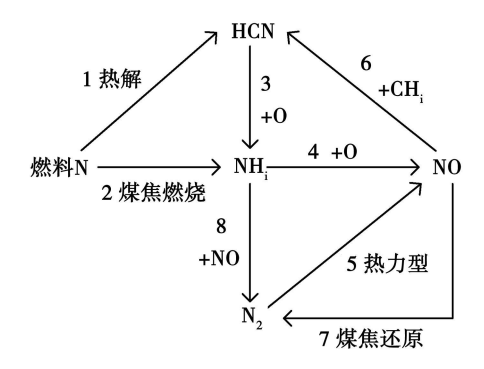


图 3 NO反应机理

在 Q/CQ 燃烧方式下,助燃气氛中没有 N 的存在,NO的生成主要来源于燃料。此时,NO的排放特性除了受过量空气系数、反应温度、炉内停留时间的影响外,另外一个重要的影响因素就是 Q/CQ 的体积比。不同 Q/CQ 配比下 NO的生成和还原较空气气氛下有较大的区别,Q/CQ 燃烧方式下,烟气成分的不同使得上述各反应的反应速率发生变化,大量的 Q 会在燃烧开始时与碳发生还原反应,生成较高含量的 Q 虽然单纯煤焦还原 NO的能力有限,但在高温下,Q 对煤焦与 NO间的反应有显著的催化作用,使图 Q 可应 Q 7的速度加快。

#### 3 计算工况

表 2为各工况数值模拟汇总表,各工况燃煤量均与空气燃烧方式保持一致,输入氧量满足燃烧化学当量比 1. 2 考虑到输送煤粉的需要,工况四、五的一次风量与工况三保持一致。另外,工况四、五由于总风量的减少,在一次风量保持与工况三一致的情况下,二次风量较标准工况(工况一、降低很多,为保持二次风的刚性,最上面一层燃烧器不再投入。

## 4 模拟结果与分析

#### 4.1 计算结果与实验结果比较

为了验证计算模型的准确性,将空气燃烧方式 下的计算结果与实验结果进行了对比。采用抽气热 ling House. All rights reserved. http://www.cnki.net 电偶对炉内烟温的 4个不同位置处进行了测量,实测烟温与相应位置计算温度对比如表 3所示。经过对比,4个测点处计算值与测量值相对误差均小于 3%。可以看出,计算结果与实测结果间确有误差,但计算模型中对不同部位炉墙的边界条件的设定并不能完全和实际运行条件相同,因此计算误差的产生是难以避免的,但产生的误差可以为工程应用所接受,这表明计算所采用模型以及边界条件和入口条件的设定是合理的。

表 2 各工况数值模拟条件汇总表( kg/ s)

模拟工况(体积比)需	需要氧量	CO <sub>2</sub> 量	一次风量	二次风量	燃煤量
空气气氛	72. 6	0	112 7	185 1	59 4
21% O <sub>2</sub> /79% CO <sub>2</sub>	72. 6	375. 1	160 7	264 6	59 4
30% O <sub>2</sub> /70% CO <sub>2</sub>	72. 6	232 3	109 5	182 9	59 4
35% O <sub>2</sub> /65% CO <sub>2</sub>	72. 6	185. 9	109 5	136 4	59 4
40% O <sub>2</sub> /60% CO <sub>2</sub>	72. 6	149. 7	109 5	103 5	59 4

表 3 计算结果与实测值比较

测点	炉膛高度 /m	实测值 /℃	计算值 /℃	相对误差 🆄
1	23	1 570	1 610	2 548
2	29	1 495	1 511	1 07
3	36	1 388	1 360	2 017
4	45	1 120	1 092	2 5

#### 4.2 初始氧浓度对温度场的影响规律

不同工况下沿炉高方向截面平均烟气温度如图 4所示。从图中曲线可以看到,各个工况下炉内温 度的变化规律基本一致,总体上是沿高度的增加快 速升高。 Q/Q 体积比为 21%/79%时炉膛的理 论燃烧温度较空气气氛下低 300 K左右, 这是由于 烟气成分中大量 〇 的存在使得辐射吸收系数以 及混合气氛下的比热容较空气气氛高, 虽然辐射吸 收系数的增加在一定程度上可以加大火焰与壁面的 辐射换热,但远不如气相温度对辐射换热的影响大, 因此 Q/Q 体积比为 21%/79%的工况下炉膛出 口烟气温度并不会比空气气氛下低太多; 提高混合 气氛中 0, /00 的体积比, 炉内的火焰温度水平逐 渐提高,Q/CQ的体积比为 30%/70%的工况与空 气燃烧的情况最为相近。随着初始氧浓度的逐渐提 高, 燃烧器区域之后炉内温度下降也较快, 图 5为各 种工况下炉膛出口烟气温度比较图,由图可以看出 随着初始氧浓度的提高,炉膛出口烟温逐渐减低,在 40% 0 /60% 00 气氛下炉膛出口烟温较空气气氛 下降低约 70 以这说明随着初始氧浓度的增大炉膛内的辐射换热增强。

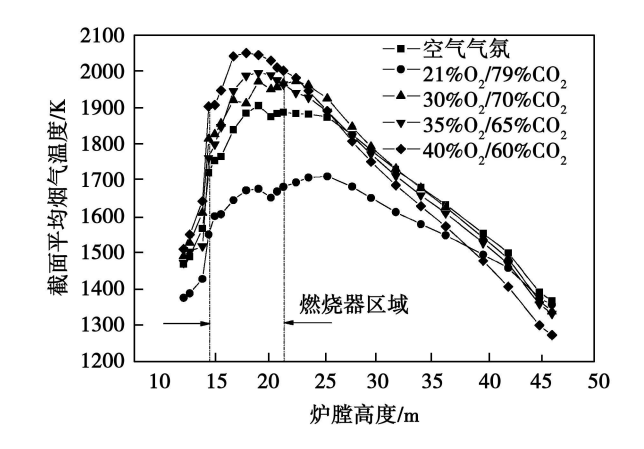
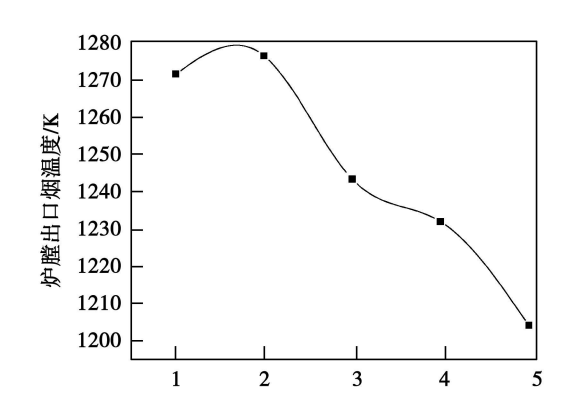


图 4 截面平均温度沿炉膛高度的变化



1.空气气氛; 2.2½ Q<sub>2</sub>/79% CO<sub>2</sub>; 3.30% Q<sub>2</sub>/70% CO<sub>2</sub>; 4.35% Q<sub>2</sub>/65% CO<sub>2</sub>; 5.40% Q<sub>2</sub>/60% CO<sub>2</sub>
图 5 各种工况下炉膛出口 烟温比较

### 4.3 初始氧浓度对组分场的影响规律

图 6~图 9分别表示 5种工况下沿炉高方向 CQ、CQ Q和 NO的浓度曲线。结合图 4分析,各个工况下高温区对应的 CO的浓度较高,CQ、Q 浓度却较低。由图 7可知,CO沿炉膛高度出现两次峰值,第一次是在下二次风区域,此处对应炉膛低温区,高浓度煤粉缺氧燃烧使得 CO浓度较高;第二次是在燃烧器中上部区域,此处对应炉膛的高温区,在高温区煤粉燃烧剧烈消耗氧气,并且造成周围氧气不能完全燃烧而生成较多 CQ 随炉膛高度的增加,CO被逐渐氧化生成 CQ,使得 CQ 增加,Q 和 CO 随之减少,炉膛出口处达到完全燃烧。在 Q /CQ 气氛下,随着初始氧浓度的升高,烟气中 CO的浓度也相应升高,而 CO浓度的增大会增强炉内的还原性氛围,从而在一定程度上抑制了 NO的生成,促进

#### 了 NO的还原。

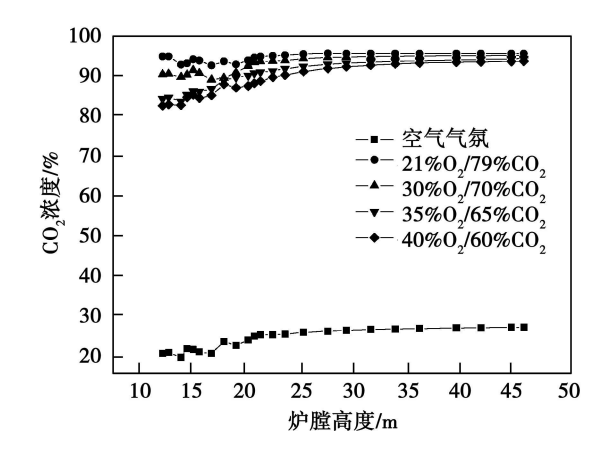


图 6 截面平均 〇 浓度沿炉膛高度变化

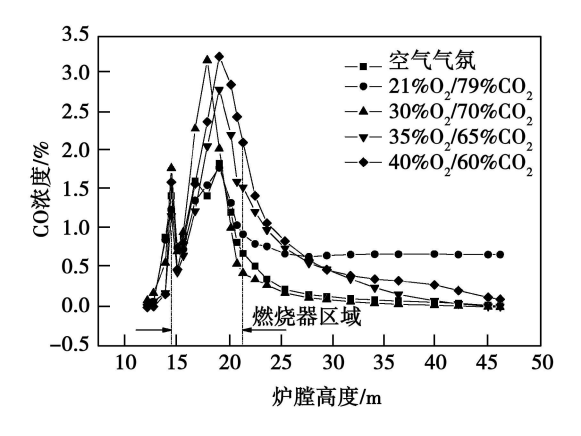


图 7 截面平均 〇次度沿炉膛高度变化

在下一次风以下的炉膛区域,由于下二次风的 影响,氧量充足使得燃烧充分,从而导致该区域中心 温度也比较高,有利于 NO的生成,并且随着初始氢 浓度的增大,炉膛理论燃烧温度剧烈上升,该值也增 加较大。由图 9还可看出,与空气气氛相比,在相同 初始氧浓度的 Q/CQ 气氛下, NO的生成量降幅较 大,随着初始氧浓度的提高,虽然炉内氧化性气氛有 所增强,NO排放浓度增大,但此时的 NO浓度仍然 低于空气气氛下的 NO浓度,造成这种现象的原因 一方面是气氛中没有 N, 这就避免了热力型 NO和 快速型 NO的生成;另一方面则主要是初始高浓度 <sup>CQ</sup> 的存在增加了 <sup>CO</sup>形成的机会, 还原气氛的形 成使产生的 NO被还原降解。30% O2/70% CQ、 35% Q /65% Q 和 40% Q /60% Q 工况下炉膛 出口 NO排放量分别为 481. 25. 475. 77 和 460. 61 mg/m³, 较空气气氛下分别降低 38 19%、38 89%、 40.84%。这说明 Q/Q 燃烧方式下随着初始氧

中较高的 <sup>CQ</sup> 浓度使 <sup>NO</sup>还原效应增强,削弱了 <sup>NO</sup> 随温度的响应,并且初始氧浓度由 30%升高到 40% 炉膛出口 <sup>NO</sup>浓度有很小的回落,即初始氧浓度的增大不会提高 <sup>NO</sup>的生成量,这对电站锅炉煤粉的富氧燃烧应用提供了有力的保证。

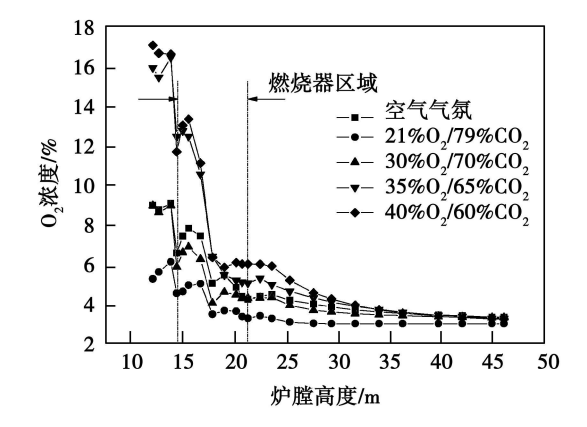


图 8 截面平均 Q浓度沿炉膛高度变化

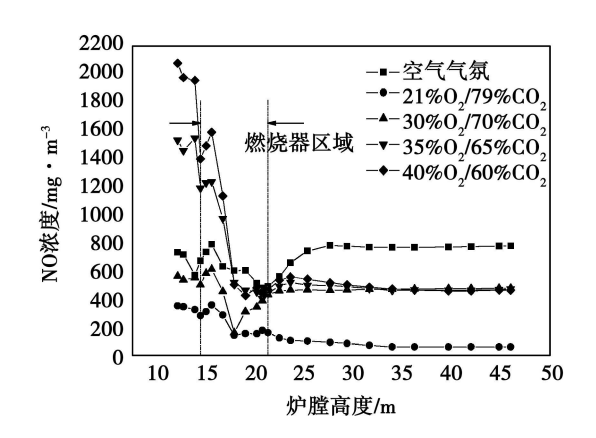


图 9 截面平均 NO浓度沿炉膛高度变化

#### 4.4 初始氧浓度对飞灰可燃物的影响规律

浓度的增力均陷理论燃烧温度大幅上升,但是烟气 Yublishing House. All rights reserved. http://www.cnki.net

飞灰含碳量有所增大, 燃尽率降低, 这可以通过改进燃烧器进行调节。

表 4 炉膛出口飞灰可燃物含量比较

02/02 体积比	飞灰可燃物含量 🆄	
空气气氛	1. 30	
21% /79%	12. 83	
30% /70%	0. 35	
35% /65%	1. 63	
40% /60%	2 39	

## 5 结 论

在 Q/Q 体积比为 21%/79%的情况下,与空气气氛相比,烟气辐射增强加大了火焰与壁面的辐射换热,降低了炉膛火焰温度水平;当初始氧浓度提高到 30%时,炉内的火焰温度水平提高并且与空气燃烧工况相当,继续提高至  $35\% \sim 40\%$ 时,炉膛出口烟气温度较空气气氛降低  $40 \sim 70~\mathrm{K}$ 

Q/CQ 气氛下 NO的生成量均小于空气气氛,一是由于 Q/CQ 气氛下无 N, 避免了热力型 NO和快速型 NO的生成; 二是由于初始高浓度 CQ 的存在增加了 CO形成的机会, 还原气氛的形成使产生的 NO被还原降解。随着初始氧浓度的增大并不会提高 NO的生成量, 初始氧浓度为 30% ~40%时, NO生成量比空气燃烧工况下降低 38 89% ~40 84%, 而在初始氧浓度为 30%时, 飞灰可燃物含量最低。

兼顾到燃尽效率与 NO生成量, 富氧燃烧方式

下初始氧浓度取为 30%比较合理,更高的氧浓度对 NC的减排作用不明显,而且存在输粉安全及过强的还原气氛增加了水冷壁高温腐蚀与结渣的可能性问题。

### 参考文献:

- [1] 阎维平. 温室气体的排放以及烟气再循环煤粉燃烧技术的研究[1]. 中国电力, 1997(6), 59-62
- [2] 樊越胜, 邹 峥, 高巨宝, 等. 煤粉在富氧条件下燃烧特性的实验研究[j]. 中国电机工程学报, 2005, 25(24); 118—121
- [3] 李庆钊, 赵长遂, 武卫芳, 等.  $O_2/CO_2$ 气氛下煤粉燃烧反应动力学的试验研究[J. 动力工程, 2008 28(3): 447—452.
- [4] 王 宏, 董学文, 邱建荣, 等. 燃煤在  $Q_1/Q_2$  方式下 NO 生成特性的研究[ J. 燃料化学学报, 2001, 29(5): 458—462
- [5] 孟德润, 周俊虎, 赵 翔, 等.  $O_2/CO_2$ 气氛下氮反应机理的研究[ $\int$ ]. 环境科学学报, 2005 25(8); 1011-1014
- [6] 林鹏云, 罗永浩, 等. 燃煤电站锅炉 NO 排放影响因素的数值模拟分析[1]. 热能动力工程, 2007, 22(5): 529—533
- [7] 邢 菲, 樊未军. 某 200 MW 四角 切圆锅 炉燃烧器 改造 降低 NO 数值模拟[ ]. 热能动力工程, 2007, 22(5); 534-538
- [8] 阎维平, 刘亚芝. 300 MW四角切圆煤粉锅炉燃烧工况的数值模拟及优化研究. 锅炉技术, 2007. 38(6). 14—19.
- [10] MOLNA A SHADDIX C.R. Ignition and devolatilization of pulverized bituminous coal particles during oxygen/carbon dioxide coal combustion [1]. Proceedings of the Combustion Institute 2007, 21(2), 1905—1912

(本文责任编辑 陈 滨)

#### (上接第 215页)

组成,以及  $CaSO_3 \cdot \frac{1}{2}$  H<sub>2</sub> Q  $CaCO_3$ 、  $CaSO_4$  等脱硫物相。其中  $CaSO_3 \cdot \frac{1}{2}$  H<sub>2</sub> O是主要的含硫物相,且各 灰样中  $CaCO_4$  含量较大。

(4) 4种脱硫灰的热重曲线在 350 <sup>©</sup>以前差别较小,760 <sup>©</sup>以后基本没有失重,说明 760 <sup>©</sup>以后没有激烈的分解反应。

#### 参考文献:

- [1] 张瑞荣, 贾海红. LIFAC脱硫灰的特性及其研究现状[1]. 再生资源研究, 2003(2): 34-37
- [2] 沈晓冬,等. LIFAC脱硫粉煤灰物相分析[]. 建筑材料学报, 2002 5(4): 12-14
- [3] 杨南如. 无机非金属材料测试方法 [M]. 武汉: 武汉 工业大学 出版社, 1990 55-58.

(本文责任编辑 陈 滨)

will approach the shellwall surface at the location of 5.2 D in the axial direction, and the quasi free vortex disappear thus forming a full rigid vortex below the above mentioned location. For the risers with a diameter of 135 mm and 180 mm, the value and location of the maximal tangential speed will undergo a similar change. On this basis the definition of the natural cyclone length of the cyclone separator was presented, i.e. the distance from the lower port of the riser to the location where the quasi free vortex disappears shall be defined as the natural cyclone length. Lc of the separator. The result of the formula (5) was given according to the test results. Finally, by analyzing the attenuation characteristics of the swirling flow in the cyclone separator and the energy transfer process between the two vortexes, further explained was the physical meaning of the natural cyclone length of the cyclone separator. Key words cyclone separator, natural cyclone length, gas phase flow field, swirling flow, attenuation

烟气循环流化床脱硫灰特性研究 — Study of the Desulfurized Ash Character stics of a Flue gas Circulating Fluidized Bed刊,汉]/XUXiren, GUIKe ting (College of Energy Source and Environment, Southeast Univer sity Nanjing China Post Code 210096), MA Chun Yuan, WANG Wen ping (College of Energy Source and Power Engineering Shandong University Jinan, China Post Code 250061)// Journal of Engineering for The mal Energy & Power — 2010—25(2).—211~215

With the desulfurized ash produced in the typical desulfurization process in a flue gas circulating fluidized bed ser ving as a sample by using such methods as theoretical analysis chemical analysis electronic telescope scanning them ogravine try analysis and X-ray diffraction analysis etc, more or less systematically studied were such characteristics as the chemical composition morphological appearance and physical phase composition etc of the desulfurized ash. It has been found that the desulfurization reactions can play a role of eroding the raw ash particles from pulverized coal and there exists a conspicuous agglomeration effect in the desulfurization tower. The main physical phase composition of the desulfurized ash includes pulverized coal produced ash phase such as mullite quartz and  $F_2 = G_3$  etc., and desulfurization produced physical phase such as  $G_3 = \frac{1}{2} G_3 = \frac{1$ 

初始氧浓度对锅炉富氧燃烧和 NOx排放的影响 = The Influence of the Initial Oxygen Concentration on Boiler Oxygen\_enriched Combustion and NOx Emissions 刊, 汉 ] / YAN Wei Ping MI Cui li LI Hao Yu (Education Ministry Key Laboratory on Power Plant Equipment Condition Monitoring and Control College of Ener gy Source and Power Engineering North China University of Electric Power Baoding China Post Code 071003) // Journal of Engineering for Thermal Energy & Power — 2010 25(2). —216~220

For a 300 MW coal fired boiler in a power plant and on the basis of a specially developed software platform CFX-TASC Flow, numerically studied were the flow, combustion and pollutant production in the furnace under the rated-load air environment in the Q/Q atmosphere of various initial oxygen concentrations Q (Q) = 21%, 30%, 35% and 40% totaling five operating conditions. The calculation results show that under the Q/Q combustion mode the Q concentration of the flue gas at the outlet of the furnace can reach over 90%, facilitating the recovery of Q. With an increase of the initial oxygen concentration, the infumace flame temperature will go up the temper ature dropmargin along the furnace height direction increase and the flue gas temperature at the outlet of the furnace go down. The amount of NOx product being generated will be less than the air quantity. The combustible Q 1994-2018 China Academic Journal Electronic Publishing House. All rights reserved.

content of the flying ash will be the highest when the initial oxygen concentration is 21%. It will drop by a great margin when the initial oxygen concentration increases to  $30\% \sim 40\%$ . Thus, 30% initial oxygen concentration is considered as a comparatively rational choice for the oxygen enriched combustion K ey words utility boiler flame temperature oxygen concentration Q/QQ atmosphere NOx numerical simulation

1 000 MW机组锅炉氮氧化物排放影响的试验研究 = Experimental Study of the Influence of NO x Em issions from the Boiler of a 1000 MW Power Plant刊,汉] / GAO X ioutaq Jiangsu Electric Power Test and Research Co, Ltl, Nanjing China Post Code 211102 ), HUANG Lei ZHANG En xian( Jiangsu Frontier Electric Power Technology Co. Ltl, Nanjing China Post Code 211102 ), ZHANG Ming yaq College of Energy Source and Environment Southeast University Nanjing China Post Code 210096) // Journal of Engineering for Thermal Energy & Power — 2010—25 (2). —221~225

On the basis of the on site testmethods for combustion adjustment a systematic study and analysis was performed of the NOx em issions characteristics of a  $_{1\ 000}$  MW ultra supercritical tangentially fired boiler in a power plant along with its influencing factors. In the light of the operation characteristics of the boiler combustion system, mainly studied were such influencing factors as the oxygen quantity load burn out air quantity (including additional air and over fired air, air quantify and air distribution mode for burners in the main combustion zone ballmill opera tion combination mode swaying angle of burners and coal ranks etc. The test and research results show that as an air staged combustion in the furnace is adopted it is decisive that the change of coal quality will remarkably affect the concentration of NOx emissions. The change of the oxygen quantity during the operation is an important factor influencing the concentration of NOx emissions With an increase of the oxygen quantity the concentration of NOx emissions from the boiler will increase linearly. The boiler load is also a major factor influencing the concentration of NOx emissions. The extent of such an influence depends on the boiler load and the operating oxygen quantity during the corresponding load. The swaying of the burner spout and the change of the ballmill operation mode will exercise a significant influence on the concentration of NOx emissions from the boiler Relative to the influence ex erted by the above mentioned factors under the condition that a large amount of burn out air is maintained to real ize an air staged and fractional combustion the change of the primary and secondary air distribution in the main combustion zone has a weak influence on the concentration of NOx on issions Keywords ultra supercritical boiler low NOx combustion NOx emissions burner air feed air distribution mode operating factors

依托高楼的太阳能热气流电站系统的 CFD模拟 = CFD (Computational Fluid Dynamics) Simulation of a Solar Energy Hot A irstream Power Plant System Installed in a High Building 刊,汉] / ZHOU Yan LI Jiehao, LI Qing ling (College of Electromechanical Engineering Qingdao University of Science and Technology Qingdao, China Post Code 266042) // Journal of Engineering for Thermal Energy & Power — 2010, 25(2). — 226~229

Designed was a solar energy hot a instream power plant installed in a high-rise with a corresponding mathematical model being established. By using software Fluent a numerical simulation was performed of the flow and temperature fields in the power plant system under discussion. Moreover, the power plant configuration also underwent an optimized design. The simulation results indicate that with an increase of the smoke stack height the airstream temperature in the smoke stack will ceaselessly rise and drop slightly at the outlet as influenced by the return flow. With the airstream velocity ever increasing, the airstream pressure distribution will first decrease and then increase. In the meanting, as the airstream is being heated by a plate-type heat collector, the airstream temperature distribution in the smoke stack is not homogeneous. The plate type heat accumulator can be designed as one with finned ex ?1994-2018 China Academic Journal Electronic Publishing House. All rights reserved. http://www.cnki.net